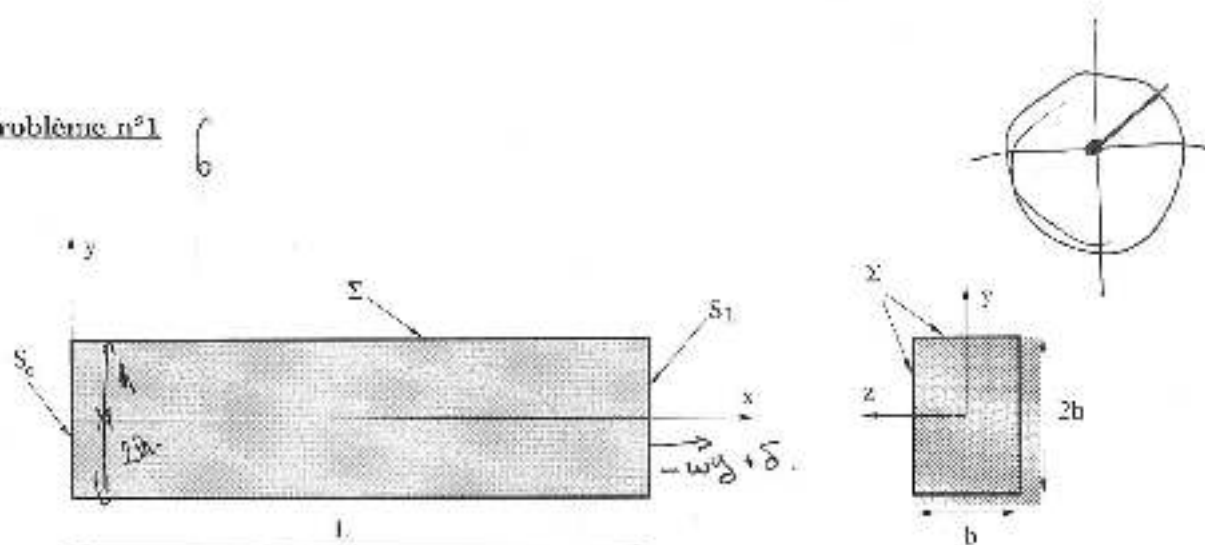


## CONTROLE DES CONNAISSANCES

Tous documents autorisés. Durée 3 heures.

### Problème n°1



Une poutre ayant la forme d'un cylindre de longueur  $L$  et de section rectangulaire (largeur  $b$ , hauteur  $2b$ ) est soumise à un chargement défini comme suit :

- Pas de forces de volume;
- Section  $S_0$  :  $U_y = 0$ ,  $T_y = T_z = 0$ ;
- Section  $S_1$  :  $U_x = -wy + \delta$ ,  $T_y = T_z = 0$ ;
- Surface latérale  $\Sigma$  libre de contrainte.

1. Définir l'espace des champs de contrainte  $\underline{\sigma}$  statiquement admissibles, ainsi que celui des champs de vitesse virtuel  $\underline{U}$  cinématiquement admissibles. En déduire, en écrivant l'expression de la puissance des efforts extérieurs à la poutre, dans de tels champs de vitesse que la poutre est soumise à un mode de chargement dépendant de deux paramètres  $N$  et  $M$  que l'on interprétera.

2. Le matériau constitutif est supposé homogène obéissant à un critère de résistance de Coulomb, de cohésion  $C$  et d'angle de frottement  $\varphi$ . On se propose de mettre en œuvre une approche statique, afin d'obtenir une estimation du domaine  $(N, M)$  des chargements potentiellement supportables. Pour cela on considère le champ de contrainte suivant :

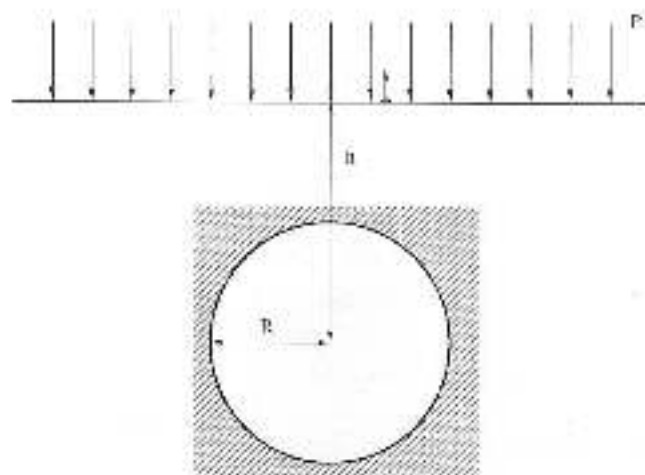
$$\begin{aligned}
 &+ \sigma_{xx} = \sigma_1 \text{ pour } -h \leq y \leq ah \\
 &+ \sigma_{xx} = \sigma_2 \text{ pour } ah \leq y \leq h \text{ avec } \alpha \in [-1, 1] \\
 &\text{où } \sigma_1 \text{ et } \sigma_2 \text{ sont des constantes.}
 \end{aligned}$$

Les autres  $\sigma_{ij}$  sont nulles.

2.1. Montrer que de tels champs sont statiquement admissibles et établir l'expression des paramètres de chargement  $N$  et  $M$  en fonction de  $\sigma_1$ ,  $\sigma_2$ ,  $\alpha$ ,  $b$  et  $h$ .

2.2. En attribuant respectivement aux constantes  $\sigma_1$  et  $\sigma_2$  les valeurs respectives des résistances du matériau, en traction simple ( $\sigma_1 = 2C \frac{\cos \varphi}{1 + \sin \varphi} \geq 0$ ) et en compression simple ( $\sigma_2 = -2C \frac{\cos \varphi}{1 - \sin \varphi} < 0$ ), déduire une approche par l'intérieur, en faisant varier  $\alpha$ , du domaine des chargements potentiellement supportables dans un diagramme (N.M), que l'on tracera. Compléter cette approche en inversant les rôles de  $\sigma_1$  et  $\sigma_2$ . Examiner le cas particulier d'une poutre constituée d'un matériau de Tresca.

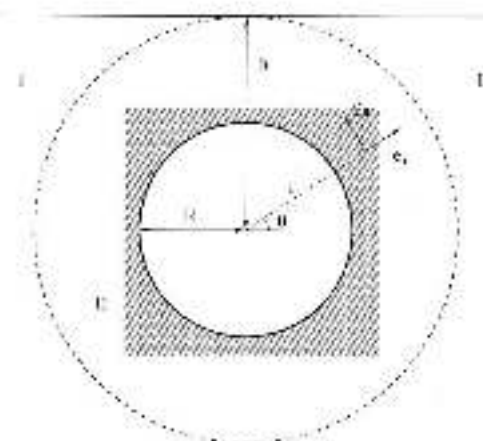
**Problème n°2**



Un tunnel circulaire de rayon  $R$  est creusé à la profondeur  $h$  dans un sol homogène non pesant, obéissant à un critère de Tresca de cohésion  $C$ . La paroi interne du tunnel est supposée libre d'efforts, tandis que le massif de sol est soumis en surface à l'action d'une charge uniformément répartie d'intensité  $p$ . Le tunnel est de longueur suffisante pour que l'on puisse traiter ce problème comme un problème plan.

1. On cherche à construire un champ de contrainte  $\sigma$ , statiquement admissible avec les données du problème, tel que :

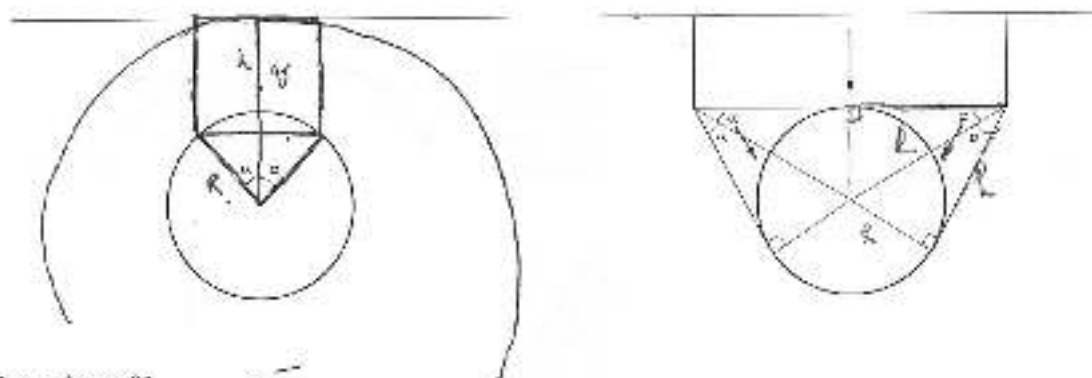
- dans la zone I ( $r \geq h$ ) :  $\sigma$  est isotrope (de la forme  $\alpha \underline{1}$ )
- dans la zone II ( $R \leq r < h$ ) :  $\sigma$  est indépendant de  $\theta$  et vérifie :  $\sigma_{rr} = 0$  et  $\sigma_{rr} - \sigma_{\theta\theta} = \lambda$  constante.



a) Donner, en fonction de  $p$ , l'expression de  $\sigma$  en tout point du massif.

b) En écrivant que  $\underline{g}$  respecte en tout point le critère de résistance du matériau, déterminer un minorant de la charge extrême  $p$ .

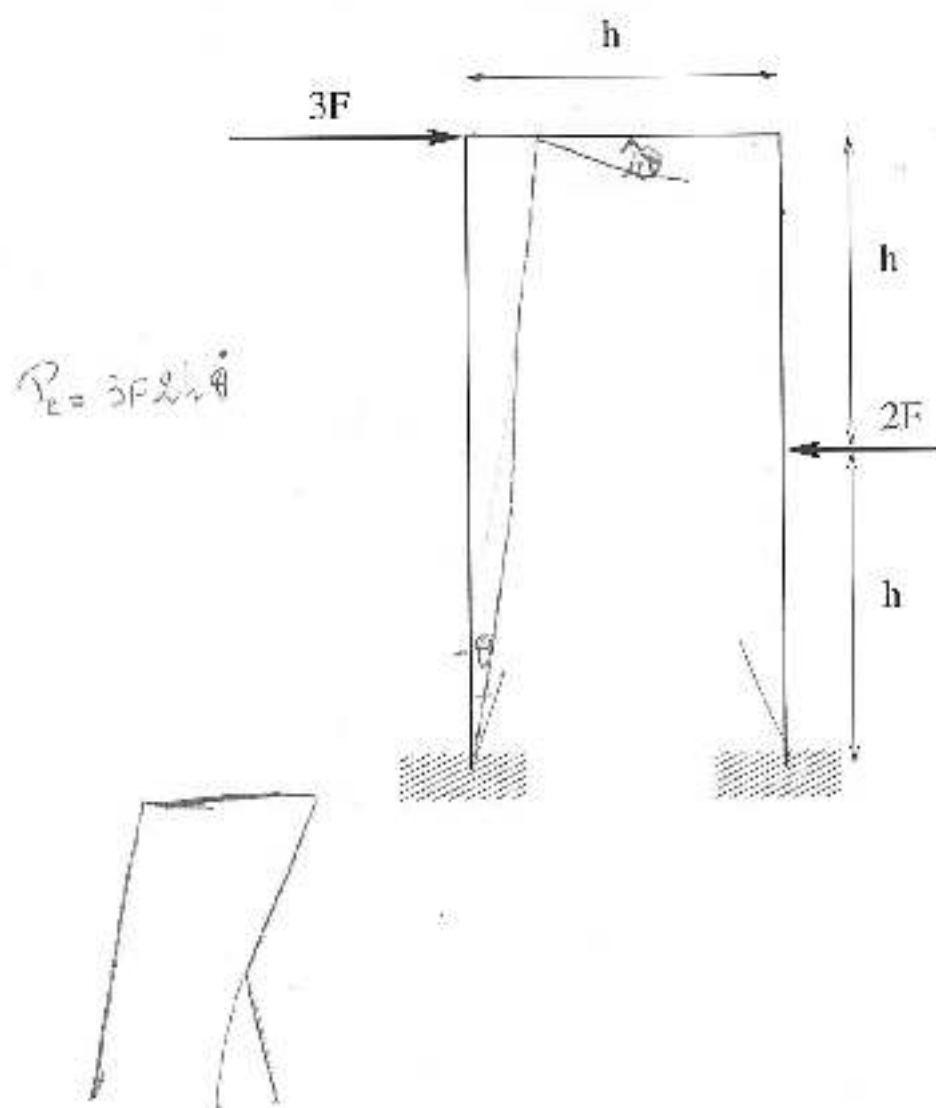
2. Donner des évaluations par excès de la charge extrême  $p^*$  qui provoque l'effondrement du tunnel à l'aide des mécanismes de rupture par blocs en translation schématisés ci-après (on optimisera chaque fois par rapport à l'angle  $\alpha$ ). Discuter suivant la valeur du rapport  $h/R$ .



Exercice n°1

5

On se propose de déterminer la charge de ruine  $Q^*$  du portique ci-dessous, sachant que la valeur absolue du moment fléchissant en tout point est limitée par  $m$ .



1. Déterminer les sections potentiellement critiques de ce portique, son degré d'hyperstaticité, et en déduire les mécanismes de ruine indépendants.

2. Par combinaison linéaire de ces mécanismes, calculer la valeur de  $Q^+$  en fonction de  $m$  et  $n$ . Dessiner l'allure du mécanisme de ruine optimal.

3. Mettre en évidence la distribution de moments fléchissants équilibrant  $Q^+$ .

### Exercice n°2 2

Déterminer un majorant de l'angle d'inclinaison maximal  $\alpha^+$  au-delà duquel un tas de sable conique est certainement instable sous son poids propre  $\gamma$ , en supposant que le matériau constitutif obéit à un critère de résistance de Coulomb sans cohésion ( $\varphi \neq 0$ , cohésion  $C=0$ ). On utilisera un mécanisme à deux blocs : l'un en translation, l'autre immobile (figure suivante).

